

بررسی عددی اثر استفاده از خاک مسلح شده به وسیله‌ی ژئوفوم در کاهش آثار ناشی از بارگذاری انفجار

رضا محمد مؤمنی (دانشجوی دکتری)

مهدی خدابرست* (دانشیار)

دانشکده فنی هندسی عمران، دانشگاه قم

سازه‌های امن زیرزمینی، سازه‌هایی هستند که در عمق مشخصی از سطح زمین، عموماً به وسیله‌ی بتون مسلح ساخته می‌شوند و سپس خاکریزی به عنوان سربار روی آن‌ها اجرا می‌شود. در پژوهش حاضر، با مدل سازی سه بعدی محیط خاک و لایه‌ی مسلح‌کننده‌ی ژئوفوم در نرم افزار اجزاء محدود آباکوس، به بررسی کارایی ژئوفوم به عنوان مانع جداساز انفجاری در خاکریز سربار سازه‌ی زیرزمینی پرداخته شده است. به منظور بررسی کارایی ژئوفوم در کاهش بیشینه‌ی فشار ناشی از بار انفجاری، از متغیر درصد کاهش در روند تحلیل‌های استفاده شده و نتایج نشان داده است که استفاده از لایه‌ی ژئوفوم، بیشینه‌ی فشار توسعه‌یافته در خاکریز سربار در اثر انفجار را به طور چشم‌گیری (تا ۶۱٪) کاهش می‌دهد. همچنین با تغییر طول و عرض لایه‌ی ژئوفوم در محدوده‌ی ۲ تا ۸ متر، درصد کاهش، ۱۵٪ افزایش یافته است. از سوی دیگر، با افزایش ضخامت خاکریز سربار لایه‌ی ژئوفوم، درصد کاهش، ۹٪ تغییر یافته است که با درنظر گرفتن شرایط خاص هر پروژه، از جمله نمودار هزینه - فایده، می‌توان مقدار بهینه‌ی برای هر یک از متغیرهای بیان شده به دست آورد. در انتها، رایشه‌ی برای محاسبه‌ی درصد کاهش به دست آمده است که در طراحی خاکریزهای دفاعی هوشمند کارایی دارد.

واژگان کلیدی: خاکریز دفاعی هوشمند، ژئوفوم، سازه‌ی امن زیرزمینی، بارگذاری انفجار، درصد کاهش.

r.mohamadmomeni@stu.qom.ac.ir
khodaparast@qom.ac.ir

۱. مقدمه

در دستگاه سانتریفیوژ، اثر استفاده از مانع جداساز شامل: ترانشه‌ی خالی، ترانشه‌ی پر شده از آب، ترانشه‌ی پر شده با ژئوفوم با چگالی‌های مختلف و ترانشه‌ی پر شده با بتون در ایزوله کردن موج انفجاری را بررسی کرده‌اند. نتایج نشان داده است که ترانشه‌ی خالی و ترانشه‌ی پر شده از ژئوفوم می‌توانند موج نتش ناشی از انفجار را به شدت کاهش دهند. این در حالی است که ترانشه‌ی پر شده از بتون و آب، تأثیری در کاهش موج انفجاری ندارند.^[۱] دارایی محبوب و همکاران (۲۰۱۶)، نیز با مدل سازی عددی در نرم افزار LS-DYNA، به بررسی تأثیر حفره‌های خالی در خاک سربار در پاسخ سازه‌ی مدفعون در برابر بار انفجاری پرداخته و نتیجه گرفته‌اند که ایجاد حفره‌های خالی در خاک سربار، تأثیر به سزاوی در کاهش نتش‌های وارد بر سازه‌ی مدفعون دارد.^[۲]

دیگر از دستگاه سانتریفیوژ در پژوهشی با استفاده از تحلیل کوبل اویلری لامگرانزی در نرم افزار اتو داین و آزمایش کوچک مقیاس به وسیله‌ی دستگاه سانتریفیوژ به بررسی استفاده از لایه‌ی محافظتی ژئوفوم روی تونل‌های مدفعون در خاک ماسه‌یی در برابر بار انفجار سطحی پرداخته‌اند و با بررسی اثر ضخامت لایه‌ی ژئوفومی که

کشورهای پیشرفته‌ی دنیا برای حفظ امکانات و دستاوردهای خود در برابر تهدیدهای خارجی و توربیستی و افزایش توان مقابله در برابر تهاجم دشمنان در شرایط بحرانی، رویکرد استفاده از سازه‌های امن زیرزمینی را انتخاب کرده‌اند.^[۱] سازه‌های امن زیرزمینی، سازه‌هایی هستند که در عمق مشخصی از سطح زمین، عموماً به وسیله‌ی بتون مسلح ساخته می‌شوند. سپس خاکریزی به عنوان سربار روی آن‌ها اجرا می‌شود. خاکریز سربار، نقش مهمی در میرا کردن نتش‌های به وجود آمده‌ی ناشی از انفجار دارد.

کاهش ضربه‌ی ناشی از انفجارهای سطحی یا زیرزمینی به وسیله‌ی لایه‌ی ایزوله کننده، شامل: لایه‌های نرم، متخلخل و مسلح شده از موضوعات نوین در حفاظت از سازه‌های زیرزمینی است که در ادامه برخی از آن‌ها بررسی شده‌اند. وانگ^[۱] و همکاران (۲۰۰۹)، در پژوهشی به کمک نرم افزار LS-DYNA و مدل سازی فیزیکی

* نویسنده مسئول
تاریخ: دریافت ۱۶ اکتبر ۱۳۹۶، اصلاحیه ۱۱/۱، پذیرش ۲/۲، ۱۳۹۷.

DOI:10.24200/J30.2018.5676.2279

سیدان و حسینی نیا [۲۰ ۱۵]، در مطالعه‌ی پارلمتریک به روش تفاضل محدود (FDM)^۹ و با استفاده از نرم‌افزار فلک دو بعدی^{۱۰}، تراکم خاک ماسه‌ی سیلت دار در اطراف سازه‌ی زیرزمینی را در گسترش موج ناشی از انفجار بررسی کردند و نتیجه گرفتند که خاک با درجه تراکم بیشتر (پارامترهای خمیری Φ , c , Ψ بیشتر)، انرژی انفجار را بیشتر جذب می‌کند و درنتیجه جایه‌جایی و تنش سطح سازه‌ی زیرزمینی کمتر است.^[۱۱]

تاکنون بیشتر کاربردهای ژئوتکنیکی ژئوفوم، معطوف به استفاده در خاکریزهای مهندسی به عنوان ماده‌ی سبک پرکننده به منظور کاهش اثر سربار لایه‌های ضعیف خاک و نیز افزایش پایداری شیروانی‌های خاکی بوده است و همان‌طور که بیان شد، پژوهش‌های اندکی به استفاده از ژئوفوم به منظور کاهش آثار ناشی از بار انفجاری پرداخته‌اند. در پژوهش حاضر، با استفاده از مدل سازی سه‌بعدی در نرم‌افزار اجزاء محدود آباکوس تلاش شده است تا اثر استفاده از لایه‌ی مسلح‌کننده ژئوفوم و تغییر در مشخصات هندسی و فیزیکی لایه‌ی ژئوفوم، در کاهش بیشینه‌ی فشار توسعه یافته ناشی از بارگذاری انفجار در خاکریز سربار سازه‌ی زیرزمینی بررسی شود. از جمله‌ی دیگر مزیت‌های لایه‌ی ژئوفوم دفاعی هوشمند می‌توان به کاهش وزن خاکریز سربار سازه‌ی زیرزمینی، کاربرد ژئوفوم به عنوان عایق جهت جلوگیری از شناسایی سازه‌ی امن زیرزمینی توسط ماهواره‌های دشمن، عدم نیاز به وسائط نقشه‌ی سنگین برای حمل، سازگاری با شرایط آب و هوایی مختلف (دما)، شکل‌دهی و پرش آسان و سرعت اجرای بالا اشاره کرد.

۲. مدل سازی عددی

در پژوهش حاضر، مدل سازی محیط خاک و لایه‌ی ژئوفوم به صورت سه‌بعدی در نرم‌افزار اجزاء محدود آباکوس انجام شده است.^[۱۲] نرم‌افزار آباکوس، قابلیت زیادی در اعمال الگوهای بارگذاری و قوانین موجود در حوضه‌ی ژئوتکنیک دارد، لذا در بخش حاضر به تشریح اجزاء مختلف مدل سازی پرداخته شده است.

۱.۲. مدل سازی محیط خاک

بنابراین مطالعات هلوانی^[۱۳] (۲۰۰۷)، به دلیل عدم وجود زمان برای زهکشی تحت بارگذاری انفجاری، جرم خاک را می‌توان به عنوان ماده‌ی تک‌فاز در نظر گرفت.^[۱۴] برای مدل سازی رفتار تنش - کرنش خاک در پژوهش حاضر از مدل رفتاری دراگر - پراگر اصلاح شده با کلاهک استفاده شده است که ویرگی بارز آن، کترن اتساع خاک و در نظر گرفتن رفتار سخت‌شوندگی مدل تحت بار فشاری است و برای شبیه‌سازی رفتار خاک تحت بار انفجاری مناسب است. به منظور صحبت‌سنگی مدل و نیز دست‌بایی به مشخصات مورد نیاز برای مدل رفتاری دراگر - پراگر اصلاح شده از مشخصات خاک استفاده شده در پژوهش نقی و همکاران^[۲۰ ۱۰]، مطابق جدول ۱ استفاده شده است.^[۱۵]

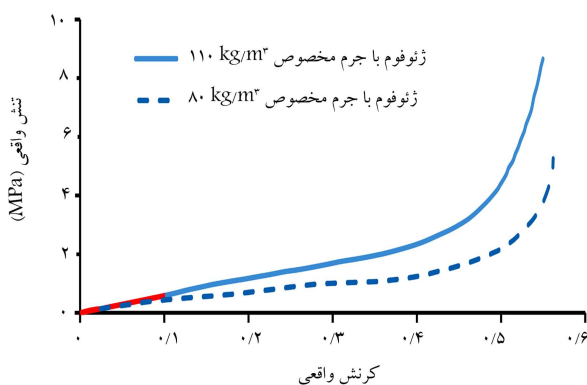
برای شبیه‌سازی تنش‌های اولیه‌ی برجا در توده‌ی خاک، از گزینه‌ی تنش‌های خاکی^[۱۶]، موجود در بخش بارگذاری^[۱۷] نرم‌افزار آباکوس استفاده شده است. ابعاد هندسی و شرایط مرزی مدل به گونه‌ی انتخاب شده‌اند که تغییری در نتایج تحلیل ایجاد نکنند و باعث بازتاب امواج ناشی از انفجار به درون محیط خاک نشوند (شکل ۱).

در تحلیل اشاره شده، با استفاده از قسمت‌بندی^{۱۸} محیط خاک از المان‌هایی با بعد ۳۰ متر و ۲۰ متر به ترتیب در خارج از محدوده قسمت مرکزی و در

مستقیماً روی تونل زیرزمینی نصب شده بود، مشخص شد که با ثابت بودن لایه‌ی خاک روی ژئوفوم و افزایش ضخامت لایه‌ی ژئوفوم، آثار ناشی از انفجار، نظری تنش و فشار و کرنش‌ها در تونل کاهش یافته و میزان تأثیر ضخامت لایه‌ی ژئوفوم در کاهش آثار ناشی از انفجار با بیشتر شدن ضخامت لایه‌ی ژئوفوم، ناملموس‌تر شده است.^[۱۹] همچنین دی و همکاران^[۲۰ ۱۶] در بررسی پتانسیل لایه‌ی محافظتی ژئوفوم در کاهش آثار ناشی از انفجارهای سطحی و بررسی نقش مؤثر ژئوفوم، نتیجه گرفتند که اگر به عنوان نمونه از ژئوفوم با ضخامت ۰,۹۰ متر استفاده کنند، کرنش بیشینه‌ی تاج تونل به اندازه‌ی ۱,۶۰ + تا ۰,۶٪ و جایه‌جایی قائم نیز به اندازه‌ی ۰,۵۶ تا ۱,۱۱ متر کاهش می‌یابد.^[۲۰] وانگ و همکاران^[۲۰ ۰۸]، نیز در بررسی کاهش موج تنشی ناشی از انفجار در لایه‌ی بتنتی با حفره‌های مستطیلی شکل پرشده با ژئوفوم، نتیجه گرفته‌اند که استفاده از لایه‌ی ژئوفوم در بتن، اثر قابل ملاحظه‌ی در استهلاک موج تنشی ناشی از انفجار دارد همچنین ضخامت، چگالی و ارتفاع بتن روی ژئوفوم تأثیر چندانی در کاهش بیشینه‌ی فشار و تنش ناشی از انفجار ندارد و ضریب کاهش فشار و تنش در لایه‌های ذکر شده به طول لایه‌ی ژئوفوم و نیز فاصله از زیر لایه‌ی ژئوفوم مستگی دارد. در پژوهش مذکور، رابطه‌ی نیز برای محاسبه‌ی ضریب کاهش بیشینه‌ی فشار ارائه شده است که می‌تواند در طراحی لایه‌های دفاعی استفاده شود.^[۲۱] ابراهیم^۳ و همکاران^[۲۰ ۱۷]، نیز با استفاده از آزمایش برش متداول و مدل سازی عددی در نرم‌افزار انسیس اتودان^۴ به بررسی اثر استفاده از خاک ماسه‌ی شامل درصدهای مختلف دانه‌های خردشده‌ی ژئوفوم در نسبت میرایی، مقاومت برشی ترکیب، و اضافه فشار ایجاد شده ناشی از بار انفجاری پرداخته و نتیجه گرفته‌اند که ترکیب نیز با ۴۰٪ دانه‌های ژئوفوم با ماسه، مقاومت برشی بهینه، بیشترین نسبت میرایی و کمترین اضافه فشار ناشی از بار انفجاری را ایجاد می‌کند.^[۲۲]

همچنین اولگن و تویگار^[۲۰ ۱۵]، با انجام یک آزمایش بزرگ مقیاس، اثر استفاده از ترانشه‌ی خالی، ترانشه‌ی پر شده از آب و پر شده از ژئوفوم را در ایزوله کردن ارتعاشات بررسی و نتیجه گیری کردند که کارایی ترانشه‌ی باز و ترانشه‌ی پر شده از ژئوفوم بسیار به هم نزدیک است و می‌توانند حدود ۰,۶۷٪ از دامنه‌ی ارتعاشات را کاهش دهند.^[۲۳] الوازی و ناگار^[۲۰ ۱۱]، نیز با انجام آزمایش در محل و مقایسه‌ی نتایج با مدل سازی عددی در نرم‌افزار آباکوس^۷ به بررسی عملکرد ژئوفوم و ترانشه‌ی باز در میراکردن ارتعاشات هارمونیک ناشی از فونداسیون‌های مکانیکی پرداخته و نتیجه گرفته‌اند که اثر حفاظتی لایه‌ی ژئوفوم می‌تواند تا ۰,۶۸٪ و بیشتر باشد.^[۲۴]

قلی‌زاده و رجبی^[۲۰ ۱۴]، نیز ضمن بررسی اثر انفجار سطحی و زیرسطحی در سازه‌های مدفعون، راهکارهایی برای ارتقاء اینمی سازه‌های مذکور پیش‌بینی کرده‌اند. نتایج تحلیل‌ها نشان داده است که برای انفجارهای سطحی، دال بتنتی ضد انفجار کارایی چندانی برای کاهش موج انفجاری ندارد. همچنین در بررسی نوع خاک به عنوان پوشش مناسب سازه‌ی مدفعون، عملکرد بهتر خاک‌های دانه‌یی مشخص شده است. ضمناً برای انفجارهای زیرسطحی، استفاده از چاهک‌هایی با فواصل متفاوت در اطراف سازه‌ی محافظت شده، کارایی مناسبی خواهد داشت.^[۲۵] آقاجانی و همکاران^[۲۰ ۱۱]، نیز با مدل سازی عددی در نرم‌افزار پلاکسیس^۸ و نیز آزمایش در محل، به بررسی تأثیر ویرگی‌های سربار خاکی در رفتار سازه‌ی مدفعون تحت بار انفجاری پرداخته و نتیجه گرفته‌اند که اجرای خاکریز ریزدانه روی سازه‌ی مدفعون، سبب تحمل نیروی فشاری ناشی از انفجار و اجرای خاکریز درشت‌دانه در زیر آن سبب استهلاک ارزی انفجار می‌شود. همچنین اجرای ژئوتکستابل سبب جلوگیری از واپاشی خاکریز زیرین خود می‌شود.^[۲۶]



شکل ۲. نمودار تنش - کرنش واقعی برای ژئوفوم با جرم مخصوص ۸۰ و ۱۱۰ کیلوگرم بر مترمکعب.

جدول ۲. مشخصات رفتار تنش - کرنشی ژئوفوم در ناحیه‌ی کشسان.

نوع ژئوفوم	ردیف	کرنش های زیاد (بر اساس رفتار کرنشی)	ضریب پواسون (مگاپاسکال)	مدول کشسان	ضریب پواسون
۸۰ کیلوگرم بر مترمکعب	۱	۰/۲۳	۵/۷	۰/۲۵	۰/۲۵
۱۱۰ کیلوگرم بر مترمکعب	۲	۰/۲۵	۵/۱	۰/۲۳	۰/۲۳

با نزخ کرنش زیاد پرداخته‌اند، که از جمله‌ی آن‌ها می‌توان به پژوهش اولت^{۱۸} و همکاران^[۱۹] (۲۰۰۶)، برای تعیین رفتار تنش کرنشی ژئوفوم‌های مختلف با استفاده از آزمایش فشاری استاندارد (برای نزخ کرنش‌های کم) و آزمایش هابکینسون (برای نزخ کرنش‌های زیاد) اشاره کرد. در پژوهش حاضر، به منظور درنظر گرفتن شرایط واقعی رفتارهای کشسان، خمیری و سخت‌شوندگی ژئوفوم تحت بارگذاری سریع انفجار (با نزخ کرنش حدود ۱۰۰۰ هرتزا)، از نتایج حاصل از پژوهش اولت و همکاران، برای دو نوع ژئوفوم ۸۰ و ۱۱۰ کیلوگرم بر مترمکعب به نزخ کرنش ۱۶۲۸ و ۱۵۸۹ هرتز استفاده شده است. با توجه به اینکه در پژوهش مذکور، تنش و کرنش مهندسی بر مبنای ابعاد اولیه نمونه از آزمایش به دست آمده است، برای درنظر گرفتن تغییر سطح مقطع و تغییر طول نمونه از روابط ۱ و ۲ برای تبدیل تنش و کرنش مهندسی به تنش و کرنش واقعی استفاده شده است. برای معروفی دقیق‌تر خواص کشسان، خمیری و سخت‌شوندگی ژئوفوم به نرم‌افزار آباکوس، مشخصات بخش قرمزنگ نمودار تنش - کرنش ژئوفوم (شکل ۲) به‌وسیله‌ی تعریف مدل کشسان و ضریب پواسون در بخش کشسان نرم‌افزار آباکوس انجام شده است (جدول ۲)، همچنین رفتار ژئوفوم در ناحیه‌ی خمیری و سخت‌شوندگی با معرفی نقطه‌به‌ نقطه‌ی نمودار تنش - کرنش ژئوفوم در بخش آبی‌رنگ (شکل ۲) به نرم‌افزار آباکوس استفاده شده است.

$$\varepsilon' = \ln(\varepsilon + 1) \quad (1)$$

که در آن، ε' کرنش واقعی و ε کرنش مهندسی است.

$$\sigma' = \sigma(1 + \varepsilon) \quad (2)$$

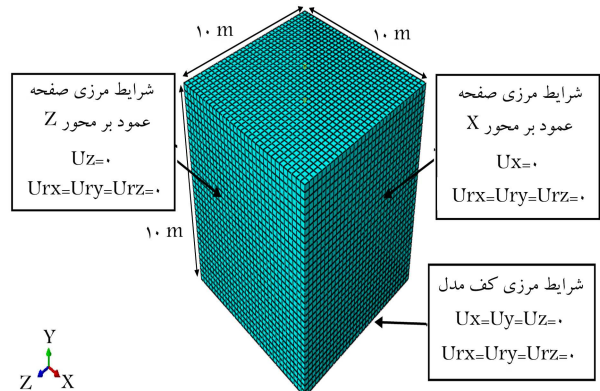
که در آن، σ' تنش واقعی، σ تنش مهندسی و ε کرنش مهندسی است.

جهت مدل‌سازی اتصال و اندرکرنش بین خاک و ژئوفوم از گزینه‌ی تماش کلی^{۱۹} در آباکوس به همراه تماش سخت^{۲۰} در جهت نرمال و تماش اصطکاکی^{۲۱} در جهت عמוד با درنظر گرفتن مقادیر پیش‌فرض نرم‌افزار آباکوس استفاده شده است.

جدول ۱. مشخصات مورد استفاده‌ی خاک.^[۱۵]

مشخصات خاک رسی	
مدول یانگ (E)	۵۱/۷ MPa
ضریب پواسون (ν)	۰/۴۵
چگالی (ρ)	۱۹۲۰ kg/m³
چسبندگی (d)	۰/۰۳۶ MPa
زاویه‌ی اصطکاک (β)	۲۴ درجه
پارامتر خروج از مرکزیت کلاهک (R)	۰/۳
موقعیت سطح تسليم اولیه کلاهک (ε _v)	۰/۰۲
پارامتر انتقال شاعع سطح (α)	۰

کرنش حجمی خمیری (MPa)	تنش (MPa)
۰	۲/۷۵
۰/۰۲	۴/۸۳
۰/۰۴	۵/۱۵
۰/۰۸	۶/۲۰

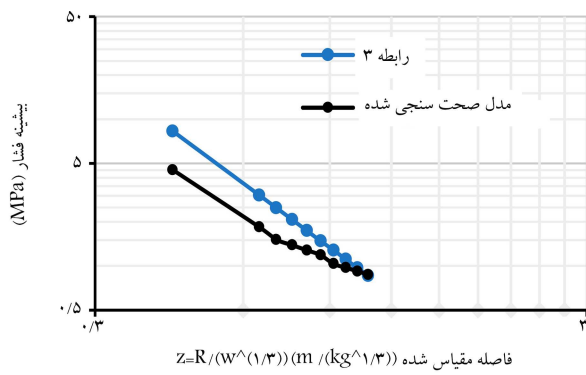


شکل ۱. مشخصات هندسی و شرایط مرزی مدل.

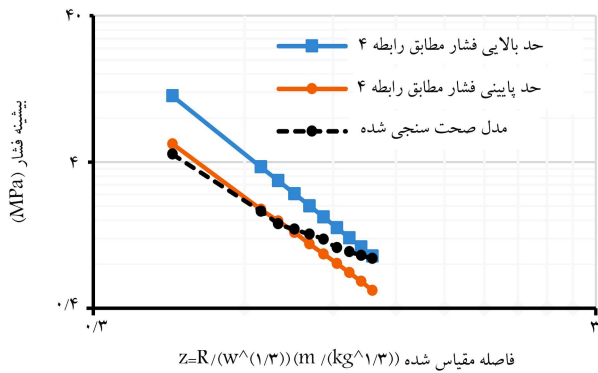
نقاط حساس داخل آن استفاده شده است تا علاوه بر بهینه کردن زمان تحلیل، دقت نتایج نیز قابل قبول باشد (شکل ۱). المان‌های محیط خاک با استفاده از المان‌های لاغرانژ از نوع ۸ گرهی (C3D8R) به همراه انتگرال کاهش یافته^{۱۶} و کنترل ساعت شنبه^{۱۷} ایجاد شده‌اند. المان‌های مذکور از کتابخانه المان‌های با حل صریح نرم‌افزار آباکوس انتخاب شده‌اند و ویژگی پارزشان، انعطاف پذیری بالای آن‌هاست.^[۱۸]

۲.۲. مدل‌سازی ژئوفوم

ژئوفوم به‌وسیله‌ی دو عملکرد، موج فشاری ناشی از انفجار را کاهش می‌دهد: ۱. به خاطر وزن کم، نیروهای داخلی کمتری تحت بار انفجاری در آن ایجاد می‌شود و در نتیجه، پیشینه‌ی سرعت ذره‌ی که به یک طرف آن وارد می‌شود، از طرف دیگر آن باشد کمتری خارج می‌شود؛ ۲. به دلیل وجود هوا در سلول‌ها و خاصیت میرایی بالای ژئوفوم، انرژی انفجار دچار استهلاک می‌شود.^[۶] تاکنون پژوهش‌های اندکی به بیان خواص تنش کرنشی ژئوفوم تحت بارگذاری



شکل ۳. مقایسه‌ی نتایج مدل صحت‌سنجی شده با رابطه‌ی ۳ (مقیاس لگاریتمی).



شکل ۴. مقایسه‌ی نتایج مدل صحت‌سنجی شده با رابطه‌ی ۴ (مقیاس لگاریتمی).

۳. تحلیل نتایج

در بخش حاضر، با توجه به شرایط مدل صحت‌سنجی شده در بخش ۵.۲، ابتدا انتشار موج شوک ناشی از انفجار در خاک بررسی شده است و در ادامه، برای تعیین کارایی لایه‌ی مسلح‌کننده ژئوفوم در کاهش فشار ناشی از انفجار، اثر تغییر در خواص فیزیکی، ضخامت، لایه‌بندی، طول لایه‌ی ژئوفوم در مدل‌های جداگانه‌ی بررسی شده است. همچنین در انتهای بخش حاضر، اثر ضخامت لایه‌ی خاک سربار ژئوفوم نیز بررسی و در انتها رابطه‌ی تجزیه‌ی برای محاسبه‌ی ضریب کاهش پیشینه‌ی فشار در حالت خاصی از مدل‌سازی بیان شده است.

۳.۱. بررسی انتشار موج شوک ناشی از انفجار در خاک

با درنظر گرفتن تحلیل مدل صحت‌سنجی شده در بخش ۵.۲، تحت دو انفجار با وزن ماده‌ی منفجره‌ی ۱۰۰ و ۵۰ کیلوگرم، با گذشت زمان در هر یک از نقاط شاهد، پیشینه‌ی تنش فشاری رسیده به نقطه‌ی موردنظر میرا شده و به صفر رسیده است و فشار ناشی از موج شوک انفجاری، در نقاط نزدیک‌تر به محل انفجار بیشتر از نقاط دورتر از محل انفجار است و این به دلیل تئوری گسترش موج تنش در محیط خاک است. همچنین با کاهش وزن ماده‌ی منفجره، پیشینه‌ی فشار ایجاد شده در نقاط متناظر کاهش پیدا کرده است (شکل ۵).

۳.۲. بررسی اثر استفاده از ژئوفوم به عنوان لایه‌ی میراکننده‌ی موج انفجاری

در بخش حاضر، اثر خواص فیزیکی، ابعاد، لایه‌بندی و شب لایه‌ی مسلح‌کننده‌ی

۳.۲. مدل‌سازی ماده‌ی منفجره

CONWEP در پژوهش حاضر، برای مدل‌سازی ماده‌ی منفجره با استفاده از روش در بخش اندرکش‌های ۲۲ نرم‌افزار آباکوس با تعریف نقطه‌ی مبدأ (مرکز جرم TNT) در فاصله‌ی ۳۵ سانتی‌متری از سطح زمین، انتخاب موج ضربه از نوع انفجار سطحی ۲۲ و وارد کردن جرم ماده‌ی منفجره و ضرایب تبدیلی مدنظر، مدل‌سازی ماده‌ی منفجره TNT با جرم ۱۰۰ و ۵۰ کیلوگرم در روند تحلیل‌ها انجام شده است.

۴. روش تحلیل

در پژوهش حاضر از روش حل صریح ۲۴ موجود در نرم‌افزار آباکوس استفاده شده است. روش صریح، جایه‌گایی هرگره را با توجه به شتاب آن گره در هرگام بازگذاری محاسبه‌ی می‌کند. در روش تحلیل، تأثیر نیروهای خارجی بر روی جسم به شکل انتشار امواج تنشی خواهد بود و مسئله‌ی به صورت دینامیکی حل شده است، که برای تحلیل انتشار موج انفجار در خاک، روشی مناسب است.

۵. صحت‌سنجی مدل

برای بررسی صحت نتایج مدل‌سازی صورت گرفته، به مقایسه‌ی نتایج به دست آمده با مطالعات پیشین موجود در این زمینه پرداخته شده است. به منظور نزدیک کردن نتایج حاصل از مدل‌سازی به نتایج مطالعات پیشین از تغییر در پارامترهای میرایی رایلی خاک استفاده شده است.

نقی و همکاران [۲۰] با استفاده از نرم‌افزار آباکوس به بررسی اثر انفجار سطحی در سازه‌ی بتونی مسلح زیرزمینی پرداخته و رابطه‌ی ۳ را برای پیشینه‌ی فشار در خاک به دست آورده‌اند. [۱۵] با توجه به اینکه مشخصات خاک مورد استفاده در نوشتار اخیر، مشابه مشخصات خاک در پژوهش حاضر است، لذا برای صحت‌سنجی مدل می‌توان از نتایج پژوهش نقی و همکاران [۲۰] استفاده کرد.

$$PP = 1,0^3 \left(\frac{R}{M^{\frac{1}{n}}} \right)^{-2,4797} \quad (3)$$

که در آن، PP پیشینه‌ی فشار در خاک (بر حسب مگاپاسکال)، R فاصله‌ی نقطه‌ی موردنظر از مرکز انفجار (بر حسب متر) و M جرم ماده‌ی منفجره (بر حسب کیلوگرم) است. همچنین در پژوهش مذکور رابطه‌ی ۴ از آینه‌نامه‌ی ارش آمریکا [۱۵] برآزمایش‌های انفجاری در محل استخراج شده است که از آن برای صحت‌سنجی در بخش حاضر نیز استفاده شده است. [۱۵]

$$PP = C \left(\frac{R}{M^{\frac{1}{n}}} \right)^{-n} \quad (4)$$

پارامترهای موجود در رابطه‌ی ۴ مشابه رابطه‌ی ۳ است و C و n نیز ضرایب ثابتی هستند که در جدول ۳، مقدار آن‌ها برای حد بالایی و پایینی رابطه‌ی مذکور ارائه شده است. مقایسه‌ی نتایج حاصل از پژوهش با روابط ارائه شده در برخی مطالعات پیشین، همگرایی خوبی نشان داده است (شکل‌های ۳ و ۴). که در شکل‌های ۳ و ۴، \approx فاصله‌ی مقیاس شده است و پارامترهای آن مشابه پارامترهای رابطه‌ی ۳ است.

جدول ۳. پارامترهای موجود در رابطه‌ی ۴ [۱۵]

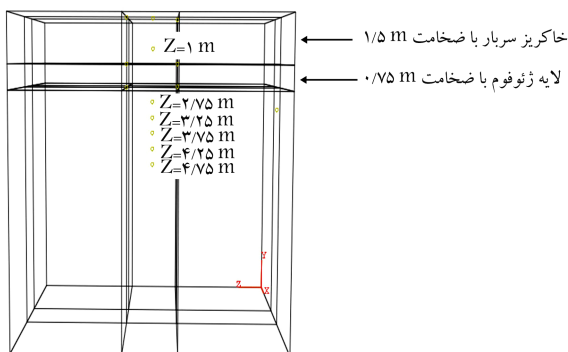
ردیف	C	n	متغیر
۱	۱/۱۲	۲/۷۵	حد بالای رابطه‌ی ۴
۲	۰/۶۵	۲/۵	حد پایین رابطه‌ی ۴

جدول ۴. ویژگی مدل‌های مورد استفاده در بررسی اثر جرم مخصوص لایه‌ی ژئوفوم.

شماره‌ی مدل	ویژگی
۱	مدل صحیح سنجی شده است که بدون مانع ژئوفوم بوده و به عنوان مدل مبنا برای مقایسه نتایج استفاده می‌شود.
۲	مدل با مانع ژئوفوم با جرم مخصوص 110° کیلوگرم بر مترمکعب است.
۳	مدل با مانع ژئوفوم با جرم مخصوص 80° کیلوگرم بر مترمکعب است.

جدول ۵. نتایج تحلیل مدل دارای مانع ژئوفوم با جرم مخصوص 110° و 80° کیلوگرم بر مترمکعب.

درصد کاهش ۳ در مدل	دربند کاهش ۲ در مدل	بیشینه‌ی فشار (مگاپاسکال) در مدل ۱ در مدل	عمق نقطه‌ی شاهد از تراز سطح زمین (متر)		
			۲	۱	۰
۱,۵۴	۵,۵۲۶	۱,۵	۵,۵۲۷	۵,۶۱۳	۱
۵۵,۴۸	۰,۹۱۸	۴۷,۷	۱,۰۷۸	۲,۰۶۲	۲,۷۵
۴۴,۴۷	۰,۸۴۲	۳۵,۷	۰,۹۷۵	۱,۵۱۷	۳,۲۵
۴۲,۹۸	۰,۷۳۰	۳۴,۰	۰,۸۴۵	۱,۲۸۱	۳,۷۵
۳۵,۰۳	۰,۶۶۸	۲۵,۷	۰,۷۷۰	۱,۰۳۶	۴,۲۵
۳۵,۰۲	۰,۵۹۴	۲۶,۴	۰,۶۷۹	۰,۹۲۲	۴,۷۵

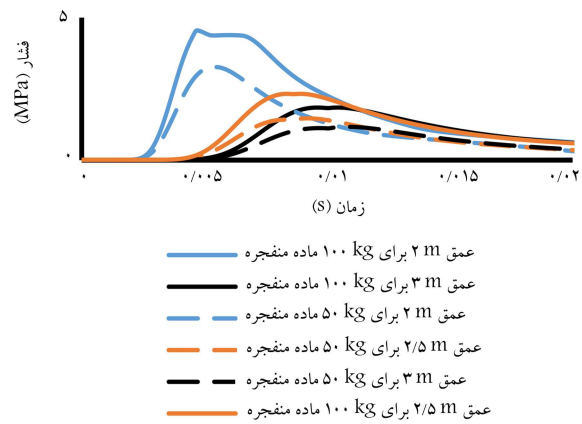


شکل ۶. شرایط هندسی مدل و مکان هندسی نقاط شاهد در بررسی اثر جرم مخصوص لایه‌ی ژئوفوم.

است. همچنین برای حذف اثر طول و عرض لایه‌ی ژئوفوم، لایه‌ی ژئوفوم با طول و عرض بی‌نهایت مدل‌سازی شده است. نتایج حاصل از تحلیل مدل‌ها در جدول ۵ نشان داده شده است.

با توجه به نتایج حاصل از تحلیل می‌توان این‌گونه نتیجه‌گیری کرد که صرف نظر از نوع ژئوفوم، استفاده از لایه‌ی مسلح شده به وسیله‌ی ژئوفوم در خاک می‌تواند بیشینه‌ی فشار در نقاط شاهد زیر لایه‌ی ژئوفوم را به طور چشمگیری کاهش دهد (کمیته‌ی 25% و بیشینه‌ی 55%) که این به دلیل وجود یک لایه‌ی میراگر با سختی پایین در مسیر انتقال موج تنش ناشی از انفجار است. همچنین تغییر در جرم مخصوص لایه‌ی ژئوفوم از 110° به 80° کیلوگرم بر مترمکعب، بیشینه‌ی 10° باعث تغییر در میزان درصد کاهش شده است (جدول ۵).

در هر دو مدل ۲ و ۳، در نقطه‌ی شاهدی که در بالای لایه‌ی ژئوفوم قرار دارد (عمق 1 متری از تراز سطح زمین)، کاهش تقریباً $1/5$ % مشاهده شد که علت آن وجود لایه‌ی ژئوفوم با سختی پایین در زیر خاکریز سربار لایه‌ی ژئوفوم است که باعث کاهش سختی و فشار توسعه یافته ناشی از انفجار شده است. همچنین در اولین نقطه‌ی شاهد در زیر لایه‌ی ژئوفوم (عمق $2/75$ متری از سطح زمین)، به



شکل ۵. نمودار فشار- زمان در نقاط شاهد برای 50° و 100° کیلوگرم ماده‌ی منفجره.

ژئوفوم و نیز ضخامت خاکریز سربار و وزن ماده‌ی منفجره در کاهش آثار ناشی از بار انفجاری بررسی شده است. به منظور بررسی اثر استفاده از ژئوفوم در کاهش آثار ناشی از بار انفجاری، از درصد کاهش 26° برای مقایسه نتایج استفاده شده است (رابطه‌ی ۵).

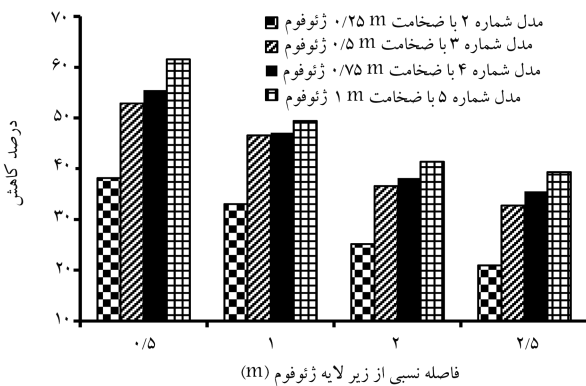
$$DF(\%) = \left(\frac{PP_0 - PP}{PP_0} \right) \times 100 \quad (5)$$

که در آن، DF درصد کاهش، PP بیشینه‌ی فشار در نقطه‌ی موردنظر بدون استفاده از ژئوفوم و PP_0 بیشینه‌ی فشار در همان نقطه در شرایط مسلح شده با ژئوفوم است. هر چه درصد کاهش بزرگ‌تر باشد، ژئوفوم اثر بیشتری در کاهش بار انفجاری دارد.

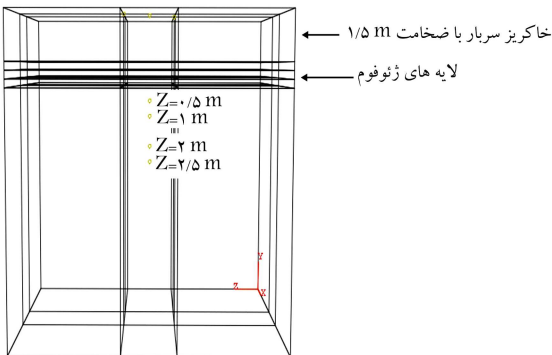
۱.۲.۳. اثر جرم مخصوص لایه‌ی ژئوفوم در کاهش آثار ناشی از بار انفجار برای بررسی اثر خواص فیزیکی ژئوفوم در کاهش بیشینه‌ی تنش ناشی از انفجار، سه مدل با شرایط هندسی و نقاط شاهد نشان داده شده در شکل ۶، در محیط نرم افزار آباکوس ساخته شده است (جدول ۴). در همه‌ی مدل‌ها، ارتفاع خاکریز سربار $1/5$ متر، ضخامت لایه‌ی ژئوفوم 75° متر و وزن ماده‌ی منفجره 100° کیلوگرم بوده

جدول ۶. ویرگی مدل‌های مورد استفاده در بررسی اثر ضخامت لایه‌ی ژئوفوم.

شماره‌ی مدل	ویرگی
۱	مدل صحبت‌سنگی شده، بدون مانع ژئوفوم و به عنوان مدل مبنا برای مقایسه‌ی نتایج
۲	مانع ژئوفوم با ضخامت 25° متر
۳	مانع ژئوفوم با ضخامت 5° متر
۴	مانع ژئوفوم با ضخامت 75° متر
۵	مانع ژئوفوم با ضخامت ۱ متر



شکل ۸. درصد کاهش بیشینه‌ی فشار در مدل‌ها با مانع ژئوفوم 80° کیلوگرم بر ضخامت لایه‌ی ژئوفوم.



شکل ۹. شرایط هندسی مدل‌ها و مکان هندسی نقاط شاهد در بررسی اثر استفاده از چند لایه‌ی ژئوفوم.

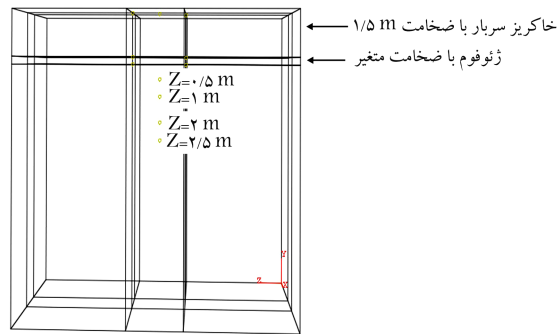
با توجه به این نکته می‌توان ضخامت بهینه‌ی لایه‌ی ژئوفوم را به دست آورد (جدول ۷).

۳.۲.۳. اثر استفاده از چند لایه‌ی ژئوفوم در کاهش آثار ناشی از بار انفجار برای بررسی اثر استفاده از چند لایه‌ی ژئوفوم در کاهش آثار ناشی از بار انفجار، ۳ مدل با شرایط هندسی و نقاط شاهد نشان داده شده در شکل ۷ در محیط نرم افزار آباکوس ساخته شده‌اند (جدول ۶). در همه‌ی مدل‌ها، ارتفاع خاکریز سربار $1/5$ متر، ژئوفوم از نوع 80° کیلوگرم بر مترمکعب و وزن ماده‌ی منفجره 100° کیلوگرم بوده است، همچنین برای حذف اثر طول و عرض لایه‌ی ژئوفوم، لایه‌ی ژئوفوم با طول و عرض بی‌نهایت مدل سازی شده است. برای بررسی میزان اثرگذاری افزایش ضخامت لایه‌ی ژئوفوم در کاهش فشار ناشی از انفجار، درصد کاهش بیشینه‌ی فشار در مدل‌های مختلف مقایسه شده است (جدول ۷ و شکل ۸).

همان‌طور که مشخص است، با افزایش ضخامت لایه‌ی ژئوفوم، فشار در نقاط شاهد اندازه‌گیری نیز کاهش یافته است که در نقطه‌ی با فاصله‌ی نسبی 5° متر از زیر لایه‌ی ژئوفوم، میزان تغییر فشار با افزایش ضخامت لایه‌ی ژئوفوم از 25° متر به ضخامت 5° متر بیشتر بوده است (بیشینه‌ی $14\%+11\%$) و با افزایش ضخامت لایه‌ی ژئوفوم از 5° متر به 75° و 1 متر، کمتر شده است (بیشینه‌ی $1\%+6\%$) که

جدول ۷. درصد کاهش بیشینه‌ی فشار در مدل‌ها با مانع ژئوفوم 80° کیلوگرم بر ضخامت لایه‌ی ژئوفوم و ضخامت‌های مختلف.

فاصله‌ی نسبی از زیر لایه‌ی ژئوفوم (متر)	درصد کاهش مدل شماره‌ی ۵	درصد کاهش مدل شماره‌ی ۴	درصد کاهش مدل شماره‌ی ۳	درصد کاهش مدل شماره‌ی ۲
$61,6$	$55,5$	$52,9$	$38,2$	$3,5$
$49,4$	$47,1$	$46,6$	$33,0$	1
$41,4$	$38,2$	$36,6$	$25,2$	2
$39,3$	$35,5$	$32,7$	$20,9$	$2,5$



شکل ۷. شرایط هندسی مدل‌ها و مکان هندسی نقاط شاهد در بررسی اثر ضخامت لایه‌ی ژئوفوم.

علم بیشتر بودن فشار ناشی از انفجار، بیشترین درصد کاهش رخ داده و با فاصله گرفتن از لایه‌ی ژئوفوم و کاهش مقدار فشار ناشی از انفجار، درصد کاهش مذکور کمتر شده است.

۲.۲.۳. اثر ضخامت لایه‌ی ژئوفوم در کاهش آثار ناشی از بار انفجار

برای بررسی اثر ضخامت لایه‌ی ژئوفوم در کاهش آثار ناشی از انفجار، ۵ مدل با شرایط هندسی و نقاط شاهد نشان داده شده در شکل ۷ در محیط نرم افزار آباکوس ساخته شده‌اند (جدول ۶). در همه‌ی مدل‌ها، ارتفاع خاکریز سربار $1/5$ متر، ژئوفوم از نوع 80° کیلوگرم بر مترمکعب و وزن ماده‌ی منفجره 100° کیلوگرم بوده است، همچنین برای حذف اثر طول و عرض لایه‌ی ژئوفوم، لایه‌ی ژئوفوم با طول و عرض بی‌نهایت مدل سازی شده است. برای بررسی میزان اثرگذاری افزایش ضخامت لایه‌ی ژئوفوم در کاهش فشار ناشی از انفجار، درصد کاهش بیشینه‌ی فشار در مدل‌های مختلف مقایسه شده است (جدول ۷ و شکل ۸).

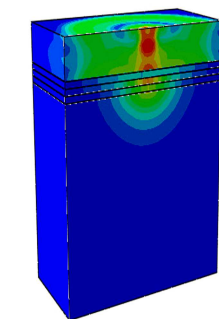
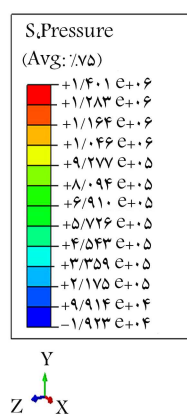
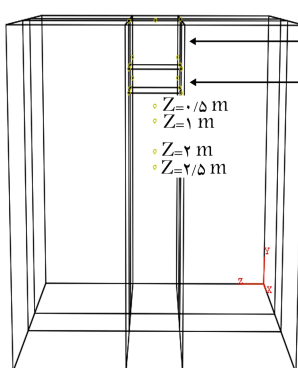
همان‌طور که مشخص است، با افزایش ضخامت لایه‌ی ژئوفوم، فشار در نقاط شاهد اندازه‌گیری نیز کاهش یافته است که در نقطه‌ی با فاصله‌ی نسبی 5° متر از زیر لایه‌ی ژئوفوم، میزان تغییر فشار با افزایش ضخامت لایه‌ی ژئوفوم از 25° متر به ضخامت 5° متر بیشتر بوده است (بیشینه‌ی $14\%+11\%$) و با افزایش ضخامت لایه‌ی ژئوفوم از 5° متر به 75° و 1 متر، کمتر شده است (بیشینه‌ی $1\%+6\%$) که

جدول ۸. ویرگی مدل‌های مورد استفاده در بررسی اثر استفاده از چند لایه‌ی ژئوفوم.

شماره‌ی مدل	ویرگی
۱	مدل صحبت‌سنگی شده، بدون مانع ژئوفوم و به عنوان مدل مبنا برای مقایسه‌ی نتایج استفاده شده است.
۲	یک لایه مانع ژئوفوم با ضخامت 75° متر
۳	دو لایه مانع ژئوفوم به ضخامت 25° متر و یک لایه‌ی 25° متری خاک رس بین آنها

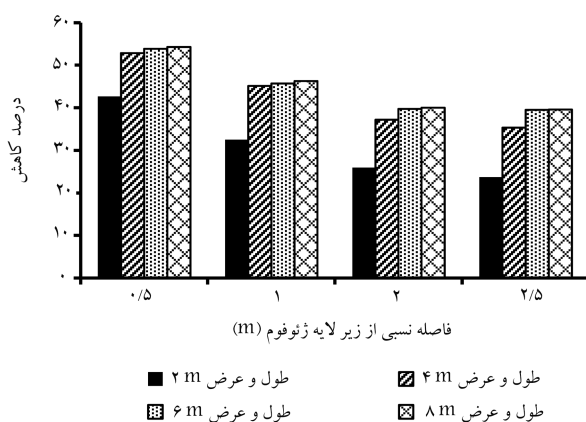
جدول ۹. درصد کاهش بیشینه‌ی فشار در بررسی اثر استفاده از چند لایه‌ی ژئوفوم.

مدل	زیر لایه‌ی ژئوفوم (متر)	فاصله‌ی نسبی از منتظر در حالت استفاده از ژئوفوم	درصد کاهش نسبت به نقطه‌ی
۱۸	۰,۵	$1/5$ m	خاکریز سربار با ضخامت
۲۳	۱	$0/75$ m	لایه ژئوفوم با ضخامت
۲۱	۲	$1/7$ m	طول و عرض متغیر
۱۷	۲,۵	$1/25$ m	قدرتمند اختلاف



شکل ۱۱. شرایط هندسی مدل‌ها و مکان هندسی نقاط شاهد در بررسی اثر طول و عرض لایه‌ی ژئوفوم.

شکل ۱۰. توزیع تنش در محیط خاک و ۲ لایه‌ی ژئوفوم در 14° ثانیه پس از انفجار.



شکل ۱۲. نمودار درصد کاهش بیشینه‌ی فشار در نقاط شاهد متناظر مدل‌ها در بررسی اثر طول و عرض لایه‌ی ژئوفوم.

متر به 8° متر، درصد کاهش به میزان $11/6^{\circ}$ ٪ افزایش یافته است (جدول ۱۱). با افزایش طول و عرض لایه‌ی ژئوفوم، میزان تغییرات پارامتر درصد کاهش کمتر شده است، به طوری که در عمق 5° متر از تراز کف لایه‌ی ژئوفوم با افزایش طول و عرض لایه‌ی ژئوفوم از 6° متر به 8° متر، درصد کاهش فقط به میزان $4/3^{\circ}$ ٪ افزایش پیدا کرده است (جدول ۱۱). در نتیجه با افزایش طول و عرض لایه‌ی ژئوفوم به عملت

و جایگزینی آن با 25° متر خاک رس، سختی کل لایه‌ی مسلح کننده بیشتر شده است و به دنبال آن، فشار در نقاط شاهد اندازه‌گیری، افزایش داشته و درصد کاهش نیز کمتر شده است (کمینه ۱۷٪) (جدول ۹).

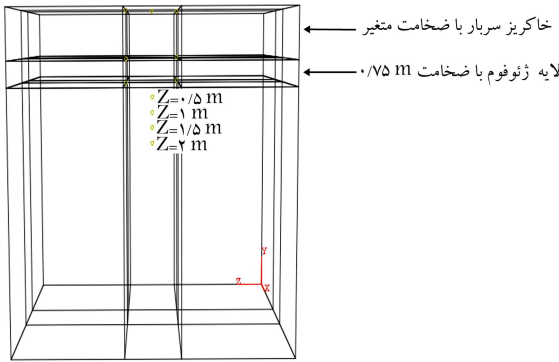
با توجه به کانتورهای توزیع فشار در شکل ۱۰ مشخص است که به علت سختی 25° متر لایه‌ی میانی خاک رس نسبت به دو لایه‌ی ژئوفوم بالایی و پایینی، انتقال فشار ناشی از انفجار در لایه‌ی ژئوفوم بیشتر انجام شده است.

۴.۲.۳ اثر طول و عرض لایه‌ی ژئوفوم در کاهش آثار ناشی از بار انفجار برای بررسی اثر طول و عرض لایه‌ی ژئوفوم در کاهش آثار ناشی از بار انفجار ۵ مدل با شرایط هندسی و نقاط شاهد نشان داده شده در شکل ۱۱ در محیط نرم افزار آباکوس ساخته شده‌اند (جدول ۱۰). در همه مدل‌ها، ارتفاع خاکریز سربار $1/5$ متر، زنوفوم از نوع 80° کیلوگرم بر مترمکعب با ضخامت 75° متر، وزن ماده‌ی منفجره 100° کیلوگرم بوده است. برای بررسی تأثیر لایه‌ی بندی ژئوفوم در کاهش فشار ناشی از انفجار، درصد کاهش بیشینه‌ی فشار در مدل‌های مختلف مقایسه شده است (جدول ۱۱ و شکل ۱۲).

با توجه به نتایج حاصل از تحلیل، با افزایش طول و عرض لایه‌ی ژئوفوم، درصد کاهش بیشینه‌ی فشار در نقاط شاهد نیز افزایش پیدا کرده است. به عنوان نمونه، در عمق 5° متر از تراز کف لایه‌ی ژئوفوم، با افزایش طول و عرض لایه‌ی ژئوفوم از 2

جدول ۱۰. ویژگی مدل‌های مورد استفاده در بررسی اثر استفاده از طول و عرض لایه‌ی ژئوفوم.

شماره‌ی مدل	ویژگی
۱	مدل صحبت‌سنجی شده، بدون مانع ژئوفوم و به عنوان مدل مبنا برای مقایسه‌ی نتایج
۲	ژئوفوم با طول ۲ متر و عرض ۲ متر
۳	ژئوفوم با طول ۴ متر و عرض ۴ متر
۴	ژئوفوم با طول ۶ متر و عرض ۶ متر
۵	ژئوفوم با طول ۸ متر و عرض ۸ متر



شکل ۱۳. شرایط هندسی مدل‌ها و مکان هندسی نقاط شاهد در بررسی اثر ضخامت لایه‌ی خاک سربار.

در ادامه، برای بررسی بهتر میزان اثرگذاری ضخامت خاکریز سربار لایه‌ی ژئوفوم در کاهش فشار ناشی از انفجار، به مقایسه‌ی درصد کاهش بیشینه‌ی فشار در مدل‌های ۳ الی ۵ در جدول ۱۳ پرداخته شده است. همچنین به دلیل شرایط خاص مدل ۲، بررسی آن به صورت جداگانه انجام شده است (جدول ۱۴).

با توجه به نتایج حاصل از تحلیل‌ها مشخص شده است که با تغییر در ضخامت خاکریز سربار لایه‌ی ژئوفوم، درصد کاهش فشار، به میزان بیشینه‌ی $+8\%$ تغییر یافته است، که این میزان تغییر برای نقاط دورتر حتی به صفر نیز رسیده است (جدول ۱۳). در نتیجه به عمل محدود بودن ضخامت خاکریز سربار لایه‌ی ژئوفوم، تغییر در ضخامت لایه‌ی ژئوفوم، اثر چندانی در کاهش بیشینه‌ی فشار ناشی از انفجار ندارد.

اما در مدل ۲ که در آن ضخامت لایه‌ی خاک سربار ژئوفوم 0.5 متر در نظر گرفته شده است، حین انفجار ماده‌ی منفجره با گسترش ابعاد چاله‌ی انفجاری، خاک سربار لایه‌ی ژئوفوم از بین رفته و فشار ناشی از انفجار مستقیماً روی لایه‌ی ژئوفوم و لایه‌ی خاک زیر آن وارد شده است (شکل ۱۴)، به طوری که بیشینه‌ی فشار در مدل ۲ نسبت به مدل ۱ افزایش یافته است (جدول ۱۴). در نتیجه، در انتخاب لایه‌ی خاکریز سربار لایه‌ی ژئوفوم باید توجه کرد که ضخامت لایه‌ی ژئوفوم، دست‌کم از عمق چاله‌ی انفجاری بیشتر باشد.

۴.۳. فرمول تجربی برای ضربی کاهش (DF)

در بخش حاضر، با توجه به مدل‌ها و نتایج به دست آمده در بخش ۴.۲.۳ با متغیر درنظر گرفتن طول و عرض لایه‌ی ژئوفوم و ثابت فرض کردن بقیه‌ی متغیرها نظر ضخامت لایه‌ی ژئوفوم و غیره، بهترین تابع‌نمایی 27 از نتایج جدول ۱۵ عبور داده شده است (شکل ۱۵). به این ترتیب، رابطه‌ی تجربی برای محاسبه‌ی ضربی کاهش بیشینه‌ی فشار در عمق مشخصی از زیر لایه‌ی ژئوفوم به دست آمده است

جدول ۱۱. درصد کاهش بیشینه‌ی فشار مدل‌ها در بررسی اثر طول و عرض لایه‌ی ژئوفوم.

لایه‌ی ژئوفوم (متر)	متناظر در حالت طول و عرض (متر)	فاصله‌ی نسبی از زیر	درصد کاهش نسبت به نقطه‌ی
۸	۶	۴	۲
۵۴,۳	۵۲,۹	۵۲,۹	۴۲,۷
۴۶,۳	۴۵,۷	۴۵,۱	۳۲,۵
۴۰,۰	۳۹,۷	۳۷,۲	۲۶,۰
۳۹,۶	۳۹,۵	۳۵,۳	۲۲,۸
			۰,۵
			۱
			۲
			۲,۵

جدول ۱۲. شرایط مدل‌ها برای بررسی اثر ضخامت خاکریز سربار لایه‌ی ژئوفوم.

شماره‌ی مدل	ویژگی
۱	مدل صحبت‌سنجی شده، بدون مانع ژئوفوم و به عنوان
	مدل مبنا برای مقایسه‌ی نتایج استفاده شده است.
۲	ضخامت خاکریز سربار 0.5 متر
۳	ضخامت خاکریز سربار 1 متر
۴	ضخامت خاکریز سربار $1/5$ متر
۵	ضخامت خاکریز سربار 2 متر

برگ‌تر شدن ابعاد لایه‌ی محافظتی، درصد کاهش مربوط به بیشینه‌ی فشار ناشی از انفجار افزایش پیدا کرده است. این تغییر در ضریب ترازگرد شدن ابعاد لایه‌ی مذکور ناممکن شده است و می‌توان طول و عرض لایه‌ی ژئوفوم را با توجه به اهمیت و سایر ملاحظات اجرایی و بهره‌برداری، برای اقتصادی شدن پروژه به دست آورده.

۳.۳. اثر ضخامت لایه‌ی خاک سربار در کاهش آثار ناشی از بار انفجار

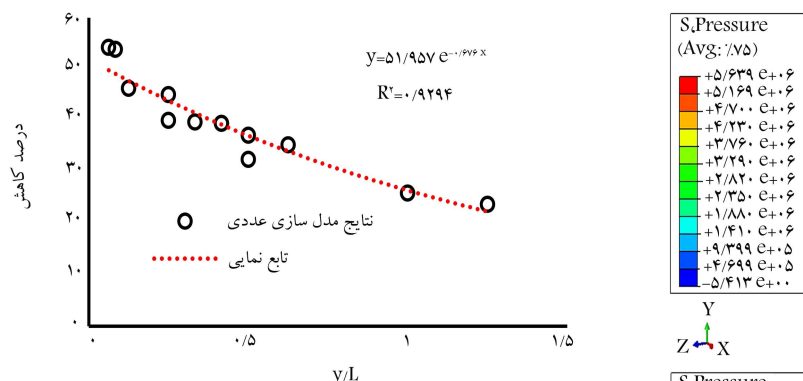
خاک سربار سازه‌ی مدفع و لایه‌ی محافظتی ژئوفوم نقش به سزاپی در توزیع تنش ناشی از انفجار و انتقال آن به لایه‌های زیرین خود دارد. برای بررسی اثر ضخامت لایه‌ی ژئوفوم در استهلاک موج فشاری ناشی از انفجار، ۴ مدل با شرایط هندسی و نقاط شاهد نشان داده شده در شکل ۱۳ در محیط نرم‌افزار آباکوس ساخته شده‌اند (جدول ۱۲) که در همه‌ی آن‌ها ضخامت لایه‌ی ژئوفوم 0.75 متر ژئوفوم از نوع 80 کیلوگرم بر مترمکعب، و وزن ماده‌ی منفجره 100 کیلوگرم بوده است.

جدول ۱۳. درصد کاهش بیشینه‌ی فشار مدل‌ها در بررسی اثر ضخامت لایه‌ی خاک سربار.

درصد کاهش مدل‌ها نسبت به یکدیگر			درصد کاهش نسبت به نقطه‌ی			فاصله‌ی نسبی		
مدل ۴	نسبت به مدل ۳	مدل ۵	مدل ۵	مدل ۴	مدل ۳	مدل ۴	نسبت به مدل ۳	از زیر لایه‌ی ژئوفوم (متر)
+ ۱	+ ۸	۵۷	۵۶	۴۸	۴۸	۰,۵		
+ ۴	+ ۲	۵۱	۴۷	۴۶	۴۶	۱		
۰	+ ۱	۴۳	۴۳	۴۳	۴۳	۱,۵		
۰	۰	۳۹	۳۹	۳۹	۳۹	۲		

جدول ۱۴. درصد کاهش بیشینه‌ی فشار در مدل ۲.

فاصله‌ی نسبی از زیر لایه‌ی ژئوفوم (متر)	بیشینه‌ی فشار در مدل (مگاپاسکال)	درصد کاهش در مدل ۲	فاصله‌ی نسبی از زیر لایه‌ی ژئوفوم (متر)	بیشینه‌ی فشار در مدل (مگاپاسکال)	درصد کاهش
- ۱۳,۸	۴,۶۷۷	۴,۱۱۰	- ۰,۵	۰,۵	
- ۳۶,۰	۳,۵۹۷	۲,۶۴۵	۱		
- ۳,۱	۲,۱۲۵	۲,۰۶۲	۱,۵		
- ۷,۷	۱,۶۳۴	۱,۵۱۷	۲		



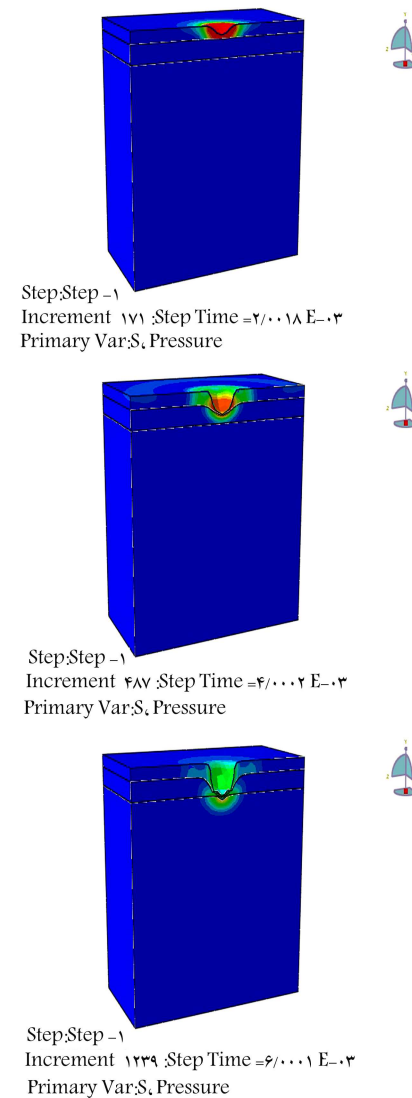
شکل ۱۵. رابطه‌ی تجربی حاصل از نتایج مدل‌سازی عددی.

(رابطه‌ی ۶).

$$DF(\%) = 51,957 e^{-0.676 \frac{y}{L}} \quad (6)$$

که در آن، DF ضریب کاهش بیشینه‌ی فشار (درصد)، y فاصله‌ی نسبی از تراز کف لایه‌ی ژئوفوم (متر) و L طول و عرض لایه‌ی ژئوفوم (متر) است. لازم به ذکر است که شرایط استفاده از رابطه‌ی ۶، شامل ژئوفوم مربوط‌شکل با ضخامت ۰,۷۵ متر و جرم مخصوص ۸۰ کیلوگرم بر مترومکعب، وزن ماده‌ی منفجره‌ی ۱۰۰ کیلوگرم و ارتفاع خاکریز سربار ۱/۵ متر است. در جدول ۱۵، y ، L و DF مشابه متغیرهای موجود در رابطه‌ی ۶ هستند. در ادامه، به منظور بررسی صحبت و دقت رابطه‌ی ۶، به مقایسه‌ی نتایج مدل‌سازی عددی و رابطه‌ی تجربی پیشنهادی پرداخته شده است، که با توجه به دقت موردناظار در پروژه‌های اجرایی، می‌توان از رابطه‌ی ۶ در روند طراحی استفاده کرد (جدول ۱۶).

مشابه رابطه‌ی ۶ که در بخش کنونی بیان شد، می‌توان برای بقیه‌ی حالت‌های استفاده از لایه‌ی مسلح‌کننده‌ی ژئوفوم نیز روابطی برای محاسبه‌ی ضریب کاهش به دست آورد و در دستورالعمل‌ها و آینه‌نامه‌های مرتبط استفاده کرد. این گونه روابط برای محاسبه‌ی فاصله‌ی کمینه‌ی اینم (y_{min}) و یا کمینه‌ی طول و عرض اینم (L_{min}) برای لایه‌ی ژئوفوم هنگامی که ضریب کاهش مشخصی (DF) مدنظر



شکل ۱۶. گسترش فشار و هندسه‌ی چاله‌ی انفجری در مدل ۲.

جدول ۱۵. مقادیر ضریب کاهش (DF) برای مدل‌های مختلف.

$L = 8$	$L = 6$	$L = 4$	$L = 2$	y		
DF	$\frac{y}{L}$	DF	$\frac{y}{L}$	DF	$\frac{y}{L}$	y
۵۴/۳	۰,۰۶۳	۵۳/۹	۰,۰۸۳	-	-	-
۴۶/۳	۰,۱۲۵	-	-	۴۵/۱	۰,۲۵۰	۱
۴۰/۰	۰,۲۵۰	۳۹/۷	۰,۳۳۲	۳۷/۲	۰,۵۰۰	۲
-	-	۳۹/۵	۰,۴۱۷	۳۵/۳	۰,۶۲۵	۲,۵

ضخامت لایه‌ی ژئوفوم از $۰,۲۵$ متر به ضخامت $۰,۵$ متر بیشتر بوده است (بیشینه‌ی $۱۴,۷\%$) و با افزایش ضخامت لایه‌ی ژئوفوم از $۰,۵$ متر به $۰,۷۵$ و ۱ متر کمتر شده است (بیشینه‌ی $۱,۶\%$).

- در صورت حذف $۰,۲۵$ متر لایه‌ی میانی ژئوفوم و جایگزین کردن آن با $۰,۵$ متر لایه‌ی خاک رسی در لایه‌ی $۰,۷۵$ متری ژئوفوم، سختی کل لایه افزایش یافته و درصد کاهش (DF) به میزان ۱۸% کاهش یافته است.
- با افزایش طول و عرض لایه‌ی ژئوفوم، درصد کاهش (DF)، بیشتر شده است، به عنوان نمونه در عمق $۰,۵$ متر از تراز کف لایه‌ی ژئوفوم با افزایش طول و عرض لایه‌ی ژئوفوم از $۰,۲$ متر به $۰,۸$ متر، درصد کاهش (DF) به میزان $+۱۱,۶\%$ افزایش پیدا کرده است که این تغییر در درصد کاهش (DF) با بزرگ‌تر شدن ابعاد ناملموس‌تر شده است.

- با افزایش ضخامت خاکریز سربار لایه‌ی ژئوفوم از ۱ متر به ۲ متر، درصد کاهش (DF) به میزان ۹% افزایش کرده است، که این میزان برای نقاط دورتر حتی به زیر ۱% و صفر نیز رسیده است؛ درنتیجه، تغییر در ضخامت خاکریز سربار لایه‌ی ژئوفوم، اثر چندانی در ضریب کاهش (DF) ندارد.
- در پایان نیز با توجه به نتایج بدست آمده برای حالتی که از ژئوفوم با ضخامت $۰,۷۵$ متر و جرم مخصوص ۸۰ کیلوگرم بر متربمکعب، ماده‌ی منفجره با وزن ۱۰۰ کیلوگرم و خاکریز سربار با ارتفاع $۱/۵$ متر استفاده شود، رابطه‌ی برای محاسبه‌ی ضریب کاهش (DF) به دست آمده است، که در طراحی خاکریزهای دفاعی هوشمند کارایی دارد.

واضح است که با افزایش ضخامت، کاهش جرم مخصوص و افزایش طول و عرض لایه‌ی ژئوفوم و نیز افزایش ضخامت خاکریز سربار لایه‌ی ژئوفوم می‌توان اضافه فشار ناشی از انفجار را به صفر و ضریب کاهش (DF) را به ۱ رساند، ولی در پروژه‌های اجرایی با درنظرگرفتن شرایط خاص پروژه، نظر سطح تنش مورد انتظار بعد از مسلح‌سازی و نمودار اندرکنش هزینه و فایده، می‌توان مقدار بهینه‌ی برای هر یک از متغیرهای مذکور به دست آورد تا ملاحظات فنی و اقتصادی طرح برآورده شود.

جدول ۱۶. بررسی صحت و دقت رابطه‌ی تجربی پیشنهادی.

درصد اختلاف (%)	(مدل‌سازی عددی) (رابطه‌ی ۶)	قدر مطلق (%)	$\frac{y}{L}$
۱/۵	۴۶,۴۲	۴۵,۷۲	۰,۱۶۷
۹/۷	۴۷,۷۵	۵۲,۸۷	۰,۱۲۵
۲/۸	۴۳,۸۸	۴۲,۶۹	۰,۲۵۰
۶/۳	۴۲,۰۶	۳۹,۵۹	۰,۳۱۳

باشد، استفاده می‌شود، که می‌تواند در طراحی بهینه‌ی خاکریزهای مقاوم در برابر انفجار کارآمد باشد.

۴. نتیجه‌گیری

در پژوهش حاضر، با استفاده از مدل‌سازی سه‌بعدی در محیط نرم‌افزار اجزاء محدود آباکوس، اثر استفاده از لایه‌ی ژئوفوم و تغییر ویژگی‌های لایه‌ی ژئوفوم در کاهش بیشینه‌ی فشار توسعه‌یافته ناشی ازبارگذاری انفجار در خاکریز سربار بر روی سازه‌های زیرزمینی بررسی شده است. نتایج نشان داد که استفاده از لایه‌ی مسلح‌کننده‌ی ژئوفوم، می‌تواند بیشینه‌ی فشار توسعه‌یافته در خاکریز سربار روی سازه‌های زیرزمینی را به طور چشمگیری کاهش دهد، که این میزان کاهش حتی به حدود ۶۱% هم در مدل‌های مختلف رسیده است. در مورد تغییر در ویژگی‌های لایه‌ی ژئوفوم و اثر آن در تغییر درصد کاهش ($DF\%$) می‌توان به این موارد اشاره کرد:

- با کاهش جرم مخصوص لایه‌ی ژئوفوم، بیشینه‌ی فشار ناشی از انفجار در زیر لایه‌ی ژئوفوم کاهش یافته است، به طوری که تغییر در جرم مخصوص لایه‌ی ژئوفوم از ۱۱۰ به ۸۰ کیلوگرم بر متربمکعب، بیشینه‌ی ۱۰% باعث تغییر در درصد کاهش (DF) شده است.
- با افزایش ضخامت لایه‌ی ژئوفوم، بیشینه‌ی فشار ناشی از انفجار در زیر لایه‌ی ژئوفوم کاهش یافته است، به طوری که تغییر درضخامت لایه‌ی ژئوفوم با افزایش $۰,۵$ متر، درصد کاهش (DF) به $۱,۶\%$ رسیده است.

پانوشت‌ها

3. Ibrahim
4. Ansys autodyn
5. Ulgen and Toygar
6. Naggar and Alzawi
7. Abaqus

8. Plaxis
9. Finite Diffrence Method
10. Flac 2D
11. Helwany
12. Nagy and et.al.
13. Geostatic Stress
14. load
15. partitioning
16. reduced integration
17. hourglass control
18. Ouellet
19. general contact
20. hard contact
21. frictionless contact
22. interaction
23. surface blast
24. Explicit
25. TM 5-855-1
26. decay percent
27. exponential function

6. Wang, J.G., Sun, W. and Anand, S. "Numerical investigation on active isolation of ground shock by soft porous layers", *Sound and Vibration*, **321**(3-5), pp. 492-509 (2008).
7. Ibrahim, A., Ahmad, F., Hassan, Z.A. and et al. "Strength of expanded polystyrene (EPS)-sand as lightweight material in geotechnical engineering", *International Journal of Advanced and Applied Sciences*, **9**, pp. 566-577 (2017).
8. Ulgen, D. and Toygar, O. "Screening effectiveness of open and in-filled wave barriers: A full-scale experimental study", *Construction and Building Materials*, **86**, pp. 12-20 (2015).
9. Alzawi, A. and Hesham El Naggar, M. "Full scale experimental study on vibration scattering using open and in-filled (GeoFoam) wave barriers", *Soil Dynamics and Earthquake Engineering*, **31**(3), pp. 306-317 (2011).
10. Gholizdeh, A. and Rajabi, M. "Immunization of concrete structures buried against explosion", *Passive Defense Science and Technology*, **3**, pp. 167-179 (2014).

مراجع (References)

1. Sahfi, M.A., Khosravi, F. and Shamsai, F. "Passive defense considerations in executing an underground project", Master's Dissertation Passive Defense Engineering Trends Designing, Imam Hossein Comprehensive University (2012).
2. Wang, J.G., Sun, W. and Anand, S. "Numerical investigation on active isolation of ground shock by soft porous layers", *Sound and Vibration*, **321**(3-5), pp. 492-509 (2009).
3. Darabi Mahboub, M., Nayeri, A. and Mirzeynali Yazdi, H. "Analyzing the effect of cavity in soil layer on response of embedded structure against air blast-wave", Master's Dissertation Passive Defense Engineering Trends Secure Structures, Malek Ashtar University (2012).
4. De, A., Morgante, A.N. and Zimmie, T.F. "Numerical and physical modeling of geofoam barriers as protection against effects of surface blast on underground tunnels", *Geotextiles and Geomembranes*, **44**(1), pp. 1-12 (2016).
5. De, A. and Zimmie, T. F. "Effects of Surface Explosion on underground tunnel and potential mitigation measures", *Transportation Infrastructure Geotechnology*, **3**(2), pp. 74-90 (2016).
6. Wang, J.G., Sun, W. and Anand, S. "Numerical investigation on active isolation of ground shock by soft porous layers", *Sound and Vibration*, **321**(3-5), pp. 492-509 (2008).
7. Ibrahim, A., Ahmad, F., Hassan, Z.A. and et al. "Strength of expanded polystyrene (EPS)-sand as lightweight material in geotechnical engineering", *International Journal of Advanced and Applied Sciences*, **9**, pp. 566-577 (2017).
8. Ulgen, D. and Toygar, O. "Screening effectiveness of open and in-filled wave barriers: A full-scale experimental study", *Construction and Building Materials*, **86**, pp. 12-20 (2015).
9. Alzawi, A. and Hesham El Naggar, M. "Full scale experimental study on vibration scattering using open and in-filled (GeoFoam) wave barriers", *Soil Dynamics and Earthquake Engineering*, **31**(3), pp. 306-317 (2011).
10. Gholizdeh, A. and Rajabi, M. "Immunization of concrete structures buried against explosion", *Passive Defense Science and Technology*, **3**, pp. 167-179 (2014).
11. Aghajani, A. and Khosravi, F. "Study of the effect of soil overload on behavior of buried safe structure subject to explosion load", Master's Dissertation Passive Defense Engineering Trends Secure Structures, Malek Ashtar University (2011).
12. Seyedan, M.J. and Seyed Hosseini, E. "Significance of soil compaction on blast resistant behavior of underground structures: A parametric study", *Civil Engineering Infrastructures Journal*, **48**(2), pp. 359-372 (2015).
13. ABAQUS User's Manuals, Version 6.14 (2014).
14. Helwany, S. "Applied soil mechanics with ABAQUS' applications", Hoboken, New Jersey, John Wiley & Sons (2007).
15. Nagy, N., Mohamed, M. and Boot, J.C. "Nonlinear numerical modeling for the effects of surface explosions on buried reinforced concrete structures", *Geomechanics and Engineering*, **2**(1), pp. 1-18 (2010).
16. Ouellet, S., Cronin, D. and Worswick, M. "Compressive response of polymeric foams under quasi-static medium and high strain rate conditions", *Polymer Testing*, **25**(6), pp. 731-743 (2006).